

**STUDI VARIASI MODEL ALAS MEJA KRISTALISASI GARAM  
DENGAN PENAMBAHAN MATERIAL LOGAM**

**SKRIPSI**



**UIN SUNAN AMPEL  
S U R A B A Y A**

**Disusun Oleh**

**ATIKA**

**H74216050**

**PROGRAM STUDI ILMU KELAUTAN  
FAKULTAS SAINS DAN TEKNOLOGI  
UNIVERSITAS ISLAM NEGERI SUNAN AMPEL  
SURABAYA  
2020**

## PERNYATAAN KEASLIAN

Saya yang bertanda tangan di bawah ini,

Nama : Atika  
NIM : H74216050  
Program Studi : Ilmu Kelautan  
Angkatan : 2016

Menyatakan bahwa saya tidak melakukan plagiat dalam penulisan skripsi saya yang berjudul “STUDI VARIASI MODEL ALAS MEJA KRISTALISASI GARAM DENGAN PENAMBAHAN MATERIAL LOGAM”. Apabila suatu saat nanti saya terbukti melakukan tindakan plagiat, maka saya bersedia menerima sanksi yang telah ditetapkan.

Demikian pernyataan keaslian ini saya buat dengan sebenar-benarnya.

Surabaya, 06 Agustus 2020

Yang menyatakan,



Atika

NIM. H74216050

## LEMBAR PERSETUJUAN PEMBIMBING

Skripsi oleh

NAMA : ATIKA

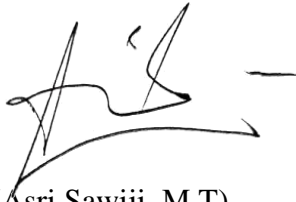
NIM : H74216050

JUDUL : STUDI VARIASI MODEL ALAS MEJA KRISTALISASI GARAM  
DENGAN PENAMBAHAN MATERIAL LOGAM

Ini telah diperiksa dan disetujui untuk diujikan.

Surabaya, 27 Juli 2020

Dosen Pembimbing 1



(Asri Sawiji, M.T)

NIP. 198706262014032003

Dosen Pembimbing 2



(Wiga Alif Violando, M.P)

NIP.199203292019031012

## PENGESAHAN TIM PENGUJI SKRIPSI

Skripsi Atika ini telah dipertahankan  
didepan tim penguji skripsi  
Surabaya, 29 Juli 2020

Mengesahkan,  
Dewan Penguji

Penguji I



(Asri Sawiji, M.T)

NIP.198706262014032003

Penguji II



(Wiga Alif Violando, M.P)

NIP.199203292019031012

Penguji III



(Fajar Setiawan, M.T)

NIP.198405062014031001

Penguji IV



(Mauludiyah, M.T)

NUP. 201409003

Mengetahui,

Plt. Dekan Fakultas Sains dan Teknologi  
UIN Sunan Ampel Surabaya



(Dr. H. Evi Fatmatur Rusydiyah, M.Ag)

NIP. 197312272005012003



**KEMENTERIAN AGAMA**  
**UNIVERSITAS ISLAM NEGERI SUNAN AMPEL SURABAYA**  
**PERPUSTAKAAN**

Jl. Jend. A. Yani 117 Surabaya 60237 Telp. 031-8431972 Fax.031-8413300  
E-Mail: [perpus@uinsby.ac.id](mailto:perpus@uinsby.ac.id)

---

LEMBAR PERNYATAAN PERSETUJUAN PUBLIKASI  
KARYA ILMIAH UNTUK KEPENTINGAN AKADEMIS

Sebagai sivitas akademika UIN Sunan Ampel Surabaya, yang bertanda tangan di bawah ini, saya:

Nama : Atika  
NIM : H74216050  
Fakultas/Jurusan : Fakultas Sains Dan Teknologi / Ilmu Kelautan  
E-mail address : [atikamalik296@gmail.com](mailto:atikamalik296@gmail.com)

Demi pengembangan ilmu pengetahuan, menyetujui untuk memberikan kepada Perpustakaan UIN Sunan Ampel Surabaya, Hak Bebas Royalti Non-Eksklusif atas karya ilmiah :

Sekripsi     Tesis     Desertasi     Lain-lain

(.....)

yang berjudul :

Studi Variasi Model Alas Meja Kristalisasi Garam Dengan Penambahan Material Logam

beserta perangkat yang diperlukan (bila ada). Dengan Hak Bebas Royalti Non-Eksklusif ini Perpustakaan UIN Sunan Ampel Surabaya berhak menyimpan, mengalih-media/format-kan, mengelolanya dalam bentuk pangkalan data (database), mendistribusikannya, dan menampilkan/mempublikasikannya di Internet atau media lain secara *fulltext* untuk kepentingan akademis tanpa perlu meminta ijin dari saya selama tetap mencantumkan nama saya sebagai penulis/pencipta dan atau penerbit yang bersangkutan.

Saya bersedia untuk menanggung secara pribadi, tanpa melibatkan pihak Perpustakaan UIN Sunan Ampel Surabaya, segala bentuk tuntutan hukum yang timbul atas pelanggaran Hak Cipta dalam karya ilmiah saya ini.

Demikian pernyataan ini yang saya buat dengan sebenarnya.

Surabaya, 6 Agustus 2020  
Penulis

(Atika)









































dibandingkan pada tahap ke dua. Proses kristalisasi garam terbentuk akibat adanya air laut yang diuapkan hingga menjadi air tua (Sulistyaningsih, et al., 2010), untuk mengkristalisasi garam NaCl air tua harus memiliki kadar 25°Be (Korovessis & Lekkas, 2009). Komponen utama pada produksi garam tambak modern yakni *reservoir* (waduk), *condensor* (peminihan) dan *crystalizier* (meja kristalisasi). *Reservoir* menjadi tempat terjadinya fase pertama pengendapan CaCO<sub>3</sub>, *condensor* merupakan tempat yang paling penting karena sebagian besar air akan dievaporasikan disini sehingga *condensor* terdapat 2 bagian dimana pada bagian *condensor* tahap 1 digunakan untuk menuntaskan tahap pertama kemudian *condensor* tahap 2 sebagai tempat terjadinya fase kedua yakni pengendapan CaSO<sub>4</sub> sedangkan pada *crystalizier* merupakan media terjadinya kristalisasi garam difase ketiga yakni NaCl (Bramawanto, 2017). Pada dasarnya proses kristalisasi dimeja garam dilakukan melalui 3 tahapan yakni pertama pencapaian kondisi super atau lewat jenuh (*supersaturation*), kedua pembentukan inti kristal (*nucleation*) dan ketiga pertumbuhan inti kristal menjadi kristal (*crystal growth*). Kondisi lewat jenuh merupakan kondisi dimana konsentrasi larutan berada di atas harga kelarutannya. Kondisi lewat jenuh dapat dicapai dengan cara pendinginan, penguapan, penambahan presipitan atau akibat reaksi kimia dua fase yang homogen. Sedangkan pembentukan inti kristal terjadi setelah kondisi super atau lewat jenuh (*supersaturation*) tercapai (Paryanto, 2001 dalam (Gustiawati, 2016). Astuti, et al., (2016) menambahkan bawasannya terbentuknya kristal garam dipengaruhi oleh 2 faktor, yang pertama laju pertumbuhan inti merupakan jumlah inti yang terbentuk dalam satuan waktu, apabila laju pertumbuhan inti tinggi maka kristal garam yang terbentuk dalam jumlah besar tetapi ukuran tidak besar dan yang kedua yakni laju pertumbuhan kristal dimana ukuran kristal yang terbentuk selama pengendapan berlangsung. Sehingga jika laju yang kedua ini tinggi maka kristal garam yang terbentuk besar-besar.

Adapun selain proses produksi garam di atas, produksi garam yang juga disarankan dengan model kristalisasi bertingkat atau pembaruan dari metode konvensional yang sudah dilakukan oleh PT Garam. Namun proses produksi garam yang umumnya dilakukan di Indonesia sebagian besar masih dengan cara tradisional oleh para petani garam, dimana air laut akan diuapkan pada ladang































belas. Seng memiliki warna putih kebiruan, berkilaun dan bersifat magnetik, selain itu juga bersifat keras dan rapuh pada kebanyakan suhu, saat temperaturnya 100-150°C seng akan mudah ditempa. Sifat seng juga dapat menghantarkan listrik dan panas (konduktor) memiliki nilai konduktivitas sebesar 104,7 W.m/K, titik lebur 420°C dan titik didih 900°C lebih rendah (Nunes, et al., 1992) serta memiliki kalor penguapan sebesar 123,6 kJ/mol. Seng murni didapatkan dalam bentuk lembaran, igot dan serbuk (ASM Metals Handbook, 1992 *dalam* Baihaqi, 2017). Sumber utama seng berasal dari aktivitas manusia yakni dari buangan limbah dan polusi udara, untuk sumber alaminya maka seng dapat didapatkan dari erosi batuan sulfida sfalerit (ZnS) disungai. Seng memiliki beberapa bentuk senyawa yang biasanya digunakan dalam produksi logam campuran, pelapisan logam dan industri pengecoran logam, alat-alat mobil ataupun pestisida ataupun cat dan sebagainya. RNO (1981) *dalam* Rahma (2006) menjelaskan lebih lanjut bahwasannya kandungan seng juga terdapat dalam sedimen, dimana konsentrasi alamiah seng dalam sedimen mencapai 20-150 mg/kg.

Seng yang merupakan salah satu *base metal* memiliki banyak kegunaan di antaranya yakni digunakan untuk fabrikasi komponen baja dan sebagai kuningan yang merupakan paduan dari seng (Zn) dan tembaga (Cu). Mayoritas seng diaplikasikan guna memproteksi korosi atau *galvanizing* pada baja dengan cara membentuk permukaan penghalang pada baja sehingga baja lebih tahan terhadap korosi (Ghofur, 2015). Selain itu, seng dapat meningkatkan kekuatan temperatur kamar dan *presipitasi hardening* (panas pada temperatur rendah, membuat logam dapat menjadi lebih keras karena adanya pemisahan komponen dari larutan padat lewat jenuh). Terdapat dua bentuk seng yang digunakan dalam penelitian ini yakni seng plat datar yang berbentuk lembaran dan seng gelombang. Keduanya berfungsi sebagai plat penyerap panas. Kedua material plat tersebut merupakan penghantar panas yang baik. Aplikasi dari seng datar ataupun gelombang dalam penelitian ini diberi cat hitam sehingga dapat mengoptimalkan penyerapan radiasi (Subiyakto, 2009).



| No | Penelitian Terdahulu  |
|----|---|
|    | <p>diangkat dan diukur suhunya dengan menggunakan pirometer. Kemudian dihitung selisih suhu dibagian bawah dan atas lempangan dengan menggunakan rumus laju perpindahan panas material logam dan luas permukaan</p> <p>Kesimpulan:<br/>Laju perpindahan panas pada lempengan besi sebesar 315,2 watt, lempengan stainless 6,3 watt, lempengan kuningan 7965,7 watt dan silinder kuningan 1.5402 watt, silinder aluminium 2.0096 watt dan silinder aluminium 0,0074 watt</p>   |
| 3  | <p><b>Ersi Selparia, Maksi Ginting dan Riad Syech, 2015.</b><br/><b>Jurnal JOM FMIPA Vol. 2 No 1</b></p> <p><b>Judul:</b><br/><b>Pembuatan dan Pengujian Alat untuk Menentukan Konduktivitas Plat Seng, Multiroof dan Asbes</b></p> <p>Tujuan:<br/>Menentukan kualitas plat seng, multiroof dan asbes yang paling menguntungkan sebagai atap bangunan berdasarkan pengujian konduktivitas termal menggunakan metode perpindahan panas secara konduksi</p> <p>Metode Penelitian:<br/>Menggunakan metode eksperimen dengan rangkaian listrik DC (arus searah). Dengan cara memasukkan 3 kepingan logam, isolator dan elemen pemanas kedalam kotak kemudian ketatkan dengan memutar skrup kemudian hubungkan dengan elemen pemanas dengan susunan rangkaian DC. Amati amperemeter dan voltmeter selama 5 menit sekali dan catat suhu hingga mencapai steady rate</p> <p>Kesimpulan:<br/>Melalui perhitungan konduktivitas maka plat seng memperoleh 0,482 w/m°C pada menit ke 100, pada multiroof diperoleh 0,132 w/m°C dimenit ke 100 dan asbes memperoleh 0,154 w/m°C pada menit ke 120.</p> |

| No | Penelitian Terdahulu  |
|----|---|
|    | Sehingga nilai konduktivitas terbesar dimiliki oleh plat seng dan yang paling kecil pada. <i>multiroof</i>  |
| 4  | <p data-bbox="400 394 1361 506"><b>Ahmad Syuhada dan Suhaeri, 2010</b><br/><b>Seminar Nasional Tahunan Teknik Mesin (SNTIM) Ke-9.</b></p> <p data-bbox="400 506 1361 674"><b>Judul:</b><br/><b>Kajian Tingkat Kemampuan Penyerapan Panas Matahari Pada Atap Bangunan Seng Berwarna</b></p> <p data-bbox="400 674 1361 898">Tujuan:<br/>Mengetahui warna yang paling sedikit menyerap matahari akibat radiasi matahari dan mengetahui kemampuan masing-masing warna dalam menyerap panas sehingga mengurangi dampak pemanasan global</p> <p data-bbox="400 898 1361 1279">Metode Penelitian:<br/>Memanfaatkan sistem sudut kemiringan atap seng sebesar 30° dengan ruang isolasi terbuat dari plastik tembus cahaya matahari dengan tujuan tidak ada pengaruh angin berbentuk balok. Pengukurannya dilakukan pukul 11.00 – 15.00 WIB dan data yang diambil yakni temperatur seng berwarna, temperatur dalam ruangan di bawah seng, ruangan kosong tanpa seng dan temperatur lingkungan</p> <p data-bbox="400 1279 1361 1771">Kesimpulan:<br/>-Seng berwarna hitam memiliki tingkat penyerapan radiasi panas tertinggi dibandingkan dengan warna lainnya. Dan seng berwarna crom memiliki tingkat penyerapan radiasi panas terendah dibanding warna lainnya<br/>-Urutan tingkat kemampuan radiasi panas dari tertinggi sampai terendah yakni hitam, coklat tua, coklat, merah, hijau, biru dan crom<br/>-Efek yang terjadi pada udara sekitar sebanding dengan kemampuan penyerapan panas oleh masing-masing seng</p> |

























Ilustrasi perlakuan 4 pada gambar 3.5 menggambarkan adanya penambahan 2 material logam yang berbeda yakni besi (Fe) dan seng (Zn) sebagai tambahan alas meja kristalisasi ladang garam. Untuk menghindari korosi maka material seng datar dan besi *hollow* dicat dengan menggunakan cat besi berwarna hitam. Urutan lapisan pada perlakuan 4 aquarium ke empat yakni tanah alluvial diisi dengan ketinggian 20 cm. Kemudian ditutup dengan menggunakan terpal, selanjutnya letakkan besi *hollow* dengan ukuran 3,4 cm x 3,4 cm sebanyak 16 buah dengan panjang 37 cm. Fungsi terpal pada perlakuan 4 digunakan untuk menghalangi percepatan korosi pada besi yang disebabkan karena adanya kelembaban tanah, sehingga terpal harus ditutup sempurna pada permukaan tanah, selain itu untuk menghindari dampak dari kelembaban tanah maka besi dilapisi dengan menggunakan cat anti korosi. Setelah itu letakkan seng datar dengan ukuran 56 cm x 38 cm di atas lapisan besi. Penggunaan besi (Fe) dan seng (Zn) diharapkan dapat meningkatkan laju evaporasi pada produksi garam, penggunaan kedua logam tersebut karena keduanya memiliki nilai konduktivitas masing-masing yakni besi sebesar 74,48 W/m<sup>°K</sup> (Akridge, 2007), sedangkan seng sebesar 104,7 W/m<sup>°K</sup> (Nunes, et al., 1992). Kemudian tutupi dengan menggunakan *geomembran* HDPE hingga menutupi luar permukaan kaca aquarium, setelah itu masukkan air laut dengan volume 1,5 liter. Pada perlakuan 4 sistem perpindahan panas sama seperti perlakuan ke tiga, dimana terjadi sistem terbuka dan sistem tertutup. Sistem terbuka pada perlakuan empat sama dengan perlakuan yang lainnya yakni terjadi secara radiasi di antara sumber energi panas matahari dengan *geomembran* HDPE serta air garam kemudian terjadi perpindahan panas secara konveksi pada air garam penelitian. Selanjutnya yakni sistem tertutup yang terjadi pada lapisan di bawah *geomembran* HDPE, proses perpindahan panas terjadi secara seri konduksi antara *geomembran* HDPE menuju seng datar, kemudian diteruskan pada besi *hollow*.

















































































waktu yang relatif singkat. Grafik batang pada gambar 4.3 menunjukkan bahwasannya perlakuan 4 menghasilkan kalor yang paling tinggi dengan nilai hari pertama 52 kJ, hari kedua 29 kJ, hari ketiga 40 kJ, hari keempat 33 kJ, hari kelima 59 kJ dan hari keenam sebesar 58 kJ. Kalor Pada perlakuan 3 dihari pertama menghasilkan 49 kJ, hari kedua 28 kJ, hari ketiga 31 kJ, hari keempat 25 kJ, hari kelima 47 kJ, hari keenam 51 kJ, hari ketujuh 17 kJ, hari kedelapan 30 kJ, hari kesembilan 25 kJ dan hari kesepuluh 16 kJ. Sedangkan pada perlakuan 2 dihari pertama 37 kJ, hari kedua 23 kJ, hari ketiga 28 kJ, hari keempat 21 kJ, hari kelima 37 kJ, hari keenam 34 kJ, hari ketujuh 14 kJ, hari kedelapan 25 kJ, hari kesembilan 22 kJ dan hari kesepuluh 14 kJ. Dan pada percobaan 1 dihari pertama kalor yang dihasilkan sebesar 29 kJ, dihari kedua 16 kJ, dihari ketiga 19 kJ, hari keempat 18 kJ, dihari kelima sebesar 34 kJ, hari keenam 30 kJ, hari ketujuh 11, hari kedelapan 24 kJ, hari kesembilan 18 kJ dan hari kesepuluh 12 kJ. Tingginya kalor yang dihasilkan pada perlakuan 4 karena kolom udara dari besi *hollow* (luas permukaan) yang digunakan lebih besar dibandingkan besi *hollow* yakni 0,18944 m<sup>2</sup> sedangkan seng gelombang hanya 0,179070 m<sup>2</sup>, serta massa besi lebih besar sehingga kapasitas kalor besi besar, sedangkan seng memiliki massa yang lebih ringan dibandingkan besi. Selain itu densitas besi lebih besar dibandingkan seng yakni 7870 kg/m<sup>3</sup> (Lekakh & Hrebec, 2016) dan seng hanya 7140 kg/m<sup>3</sup> (Oke, et al., 2010). Pada dasarnya kemampuan material dalam menghambat panas bergantung pada salah satunya yakni kerapatan massa (*density*) dimana semakin tinggi density maka cenderung menyerap panas lebih lama (Latifah, 2015). Oleh karena itu perlakuan 4 dapat menyimpan kalor lebih lama dibandingkan perlakuan yang lainnya dan proses terbentuknya garam lebih cepat. Kemampuan pada perlakuan 4 dalam menyerap panas lebih lama dapat diketahui pada pengukuran suhu malam hari, dengan kondisi cuaca malam hari cerah tanpa hujan dan pengukuran dilakukan pukul 19.00 – 21.00 WIB dengan suhu lingkungan berturut – turut yakni 29°C, 31°C dan 25°C. Adapun hasil pengambilan data suhu malam hari dapat dilihat pada tabel di bawah ini





secara berulang-ulang hingga akhirnya air bahan berkurang, hingga akhirnya tekanan air bahan menurun dan terjadi keseimbangan dengan udara disekitarnya. Djoko Wilarso dan Wahyuningsih (1995) *dalam* Gustiawati (2016) menambahkan bahwa lamanya proses penguapan bergantung pada bahan yang diuapkan dan cara panas yang digunakan. Proses terbentuknya garam bergantung pada durasi penyinaran radiasi matahari, angin, curah hujan, suhu, kelembaban dan bantuan rekayasa iklim mikro pada area penggaraman (Kumala, 2012). Pada dasarnya bantuan perekayasa iklim mikro dilakukan dengan alasan karena pemanasan global mengakibatkan berbagai anomali iklim yang berpengaruh pada iklim mikro, sehingga penerapan perekayasa iklim mikro diharapkan dapat meminimalisir anomali iklim (Soesanto, 2008). Penelitian ini menerapkan sebuah inovasi dengan menambahkan material logam sebagai alas guna mendapatkan perekayasa iklim mikro di bawah alas *geomembran* HDPE sehingga apabila suhu udara turun maka masih tetap terdapat sumber panas yang membantu proses laju evaporasi garam. Selain itu terbentuknya garam akibat adanya temperatur tinggi dan lamanya durasi penyinaran matahari terhadap bahan sehingga mengakibatkan laju penguapan tinggi (Wirasantosa, 2005).

Hasil dari uji lapangan menunjukkan bahwa setiap perlakuan menghasilkan jumlah kalor yang berbeda – beda, dari tiga kali percobaan perlakuan 4 selalu menghasilkan kalor paling tinggi dibandingkan perlakuan lainnya, oleh karena itu perlakuan 4 mengalami proses laju evaporasi air laut lebih cepat dan terbentuknya garam tidak membutuhkan waktu lama. Tyas & Wirosodarmo, (2014) menambahkan bahwasannya peningkatan suhu berbanding lurus dengan kalor dan penguapan. Akan tetapi apabila terjadi mendung ataupun hujan maka mengakibatkan radiasi matahari akan tertutupi oleh awan dan suhu lingkungan turun kemudian kelembaban udara akan meningkat sehingga air laut akan sukar menguap (Basmal & Nasran, 2000). Proses penguapan air laut akan mengakibatkan air laut menjadi lebih pekat sehingga memudahkan pembentukan inti kristal garam. Proses kristalisasi dilakukan melalui 3 tahapan yakni pertama pencapaian kondisi super atau lewat jenuh (*supersaturation*), kedua pembentukan inti kristal (*nucleation*) dan ketiga pertumbuhan inti kristal menjadi kristal (*crystal growth*). Kondisi lewat jenuh merupakan kondisi dimana konsentrasi larutan berada di atas









| Tanggal  | Keterangan<br>(Jam pengamatan dan kondisi air garam / garam)  |
|--|---|
|  | 11.00 salinitas 75‰<br>12.00 masih berupa air garam ketinggian 1 cm<br>14.00 salinitas 95‰  |
| 11 Maret 2020  | 08.00 salinitas di atas 100‰<br>12.00 masih berupa air garam ketinggian 0,8 cm<br>16.00 Hujan (menutup aquarium percobaan)  |
| 12 Maret 2020  | 12.00 masih berupa air garam ketinggian 0,5 cm  |
| 13 Maret 2020  | 08.00 masih berupa air garam ketinggian 0,2 cm<br>08.45 air garam menguap sempurna<br>09.30 air garam mengkristal<br>10.00 garam basah dan ¼ bagian garam mengering dan memutih<br>10.30 garam kering, siap panen |
| <b>Total Garam yang dihasilkan pada Perlakuan 1 Percobaan ke-1 = 46 gram</b> |   |

Berdasarkan tabel 4.14 menunjukkan perubahan gejala klinis yang berbeda-beda, dihari pertama pukul 10.00 WIB menunjukkan bahwasannya pada permukaan air garam muncul gelembung udara, dan dihari kedua pada pukul 10.00 WIB gelembung udara menunjukkan semakin banyak hingga pada hari ketiga pukul 10.00 WIB gelembung udara hampir menutupi ½ bagian permukaan air, terbentuknya gelembung tersebut akibat suhu udara yang tinggi dan radiasi penyinaran matahari yang terus-menerus sehingga suhu air menjadi naik, Menurut Effendy tahun 2012 dalam Firmansyah (2018) menjelaskan lebih lanjut bahwasannya semua molekul air akan mempunyai energi cukup untuk meninggalkan cairannya pada saat mendidih, hal ini karena apabila suhu air meningkat maka ikatan hidrogen akan putus dan terbentuk lagi secara cepat pada saat air dipanaskan dengan suhu yang lebih tinggi, beberapa molekul air akan melarikan diri kepermukaan dan jika sudah mencapai titik didihnya akan terbentuk gelembung-gelembung udara yang lebih banyak dan bersifat kontinu. Pada hari

















































| Tanggal      | Keterangan<br>(Jam pengamatan dan kondisi air garam / garam)   |
|--------------|--|
|              | 13.00 – 14.55 Panas (membuka penutup aquarium percobaan)<br>14.00 salinitas 47‰, terdapat gelembung udara<br>15.00 – 16.00 Hujan (menutup aquarium percobaan)  |
| 2 April 2020 | 08.00 salinitas 50‰<br>11.00 salinitas 56‰, terdapat gelembung udara<br>12.00 masih berupa air garam ketinggian 1 cm<br><br>14.00 – 16.00 Hujan (menutup aquarium percobaan)   |
| 3 April 2020 | 08.00 salinitas 70‰<br>11.00 salinitas 78‰, terdapat gelembung udara<br>11.50 masih berupa air garam ketinggian 0,9 cm<br>12.00 Hujan (menutup aquarium percobaan)<br>13.00 – 16.00 Panas (membuka penutup aquarium percobaan)<br>16.00 Hujan (menutup aquarium percobaan) |
| 4 April 2020 | 08.00 salinitas 79‰<br>11.00 salinitas 84‰, terdapat gelembung udara hampir seluruh pinggiran permukaan<br>12.00 masih berupa air garam ketinggian 0,8 cm<br>14.00 salinitas 90‰, terdapat gelembung udara   |
| 5 April 2020 | 08.00 salinitas 92‰<br>11.00 salinitas 97‰, terdapat gelembung udara seluruh bagian pinggiran permukaan<br>12.00 masih berupa air garam ketinggian 0,7 cm<br>14.00 salinitas di atas 100‰  |
| 6 April 2020 | 11.50 masih berupa air garam ketinggian 0,6 cm<br>12.00 – 16.00 Hujan (menutup aquarium percobaan)   |
| 7 April 2020 | 12.00 masih berupa air garam ketinggian 0,42 cm<br>15.00 – 16.00 Hujan (menutup aquarium percobaan)  |
| 8 April 2020 | 11.50 masih berupa air garam ketinggian 0,22 cm (bagian tengah) dan bagian lainnya mulai mengkristal   |





perlakuan 1 kalor yang didapatkan sebesar 37 kJ dan menghasilkan nilai laju evaporasi sebesar 0 ml/jam dalam waktu 4 jam setelah air laut dimasukkan pada pukul 08.00 WIB sebanyak 1,5 liter. Pada hari kedua dengan cuaca panas pada pagi hari, akan tetapi ppada tengah hari terjadi hujan, kemudian cuaca kembali panas pada jam 13.00 – 14.00, dan pukul 15.00 terjadi hujan hingga malam hari, durasi penyinaran matahari 6 jam sehingga nilai kalor kumulatifnya sebesar 60 kJ dan setelah 24 jam dari hari pertama maka nilai laju evaporasi dihari kedua sebesar 29,377 ml/jam. Pada hari ketiga cuaca panas dipagi hari hingga siang hari, tetapi terjadi hujan pada pukul 14.00 – 16.00 WIB sehingga durasi penyinaran matahari hanya selama 5 jam, dihari ketiga perlakuan 1 menghasilkan kalor kumulatif sebesar 88 kJ dengan nilai laju evaporasinya sebesar 28,153 ml/jam. Hari keempat cuaca panas dipagi hari hingga menjelang tengah hari, akan tetapi pada tengah hari terjadi hujan dan cuaca kembali panas pada pukul 13.00 – 15.00 WIB, setelah pengukuran pukul 15.00 hujan turun kembali hingga malam hari, durasi penyinaran matahari terhadap aquarium percobaan hanya selama 6 jam, kalor kumulatif dihasilkan sebesar 109 kJ dan nilai laju evaporasinya 9,792 ml/jam. Pada hari kelima cuaca cenderung panas dan mendung beberapa kali, sehingga durasi penyinaran radiasi matahari cukup lama yakni 8 jam, dan kalor kumulatif yang dihasilkan sebesar 146 kJ dan laju evaporasinya sebesar 9,384 ml/jam. Hari keenam cuaca panas dan beberapa kali terjadi mendung, durasi penyinaran matahari 8 jam sehingga kalor kumulatif semakin meningkat dengan total 180 kJ, unutm laju evaporasinya pada hari keenam sebesar 9,384 ml/jam. Pada hari ketujuh suhu panas pada pagi hari hingga menjelang tengah hari, pada tengah hari hingga sore hari terjadi hujan sehingga durasi penyinaran matahari hanya selama 4 jam, nilai kalor kumulatif 193 kJ pada hari ketujuh sebesar 11,261 ml/jam. Hari kedelapan durasi penyinaran matahari cukup lama yakni selama 6 jam, karena cuaca panas dipagi hingga siang hari hari dan hujan turun pada pukul 15.00 WIB hingga malam hari akibatnya nilai kalor kumulatif hanya sebesar 218 kJ dan laju evaporasinya sebesar 18,769. Pada hari kesembilan cuaca panas pada pagi hingga tengah hari, akan tetapi hujan turun pada pukul 13.00 hingga sore hari sehingga kalor kumulatif yang dihasilkan sebesar 240 kJ dan laju evaporasinya sebesar 18,769 ml/jam, pada pukul 09.00 air laut sudah menguap sempurna. Pada hari kesepuluh durasi penyinaran



















| Tanggal      | Keterangan<br>(Jam pengamatan dan kondisi air garam / garam)  |
|--------------|---|
|              | 14.00 salinitas 59‰   |
| 1 April 2020 | 08.00 salinitas 60‰<br>11.00 salinitas 72‰, gelembung udara hampir seluruh pinggiran permukaan<br>11.40 masih berupa air garam<br>12.00 Hujan (menutup aquarium percobaan)<br>13.00 - 14.50 Panas (membuka penutup aquarium percobaan)<br>14.00 salinitas 81‰, terdapat gelembung udara<br>15.00 – 16.00 Hujan (menutup aquarium percobaan) |
| 2 April 2020 | 08.00 salinitas 82‰<br>11.00 salinitas 93‰, gelembung udara hampir seluruh pinggiran permukaan<br>12.00 masih berupa air garam<br>14.00 – 16.00 Hujan (menutup aquarium percobaan)  |
| 3 April 2020 | 08.00 salinitas 93‰,<br>11.00 salinitas di atas 100‰, terdapat gelembung udara seluruh bagian pinggiran permukaan<br>12.00 masih berupa air garam<br>12.00 Hujan (menutup aquarium percobaan)<br>13.00 – 15.00 Panas (membuka penutup aquarium percobaan)<br>16.00 Hujan (menutup aquarium percobaan)                                       |
| 4 April 2020 | 12.00 masih berupa air garam dengan ketinggian 0,2 cm<br>14.00 air garam menguap sempurna<br>15.00 air garam mulai mengkristal<br>16.00 garam basah   |
| 5 April 2020 | 08.00 garam basah<br>09.00 garam mulai mengering dan memutih<br>10.00 ¼ bagian garam kering<br>10.30 ½ bagian garam kering<br>12.00 ¾ garam kering  |







suhu lingkungan dan kalor yang diserap setiap perlakuan menurun dimana semakin tinggi kelembaban udara maka kalor yang dihasilkan semakin rendah dan berlaku sebaliknya. Pada grafik di atas selain cuaca, nilai kalor yang dihasilkan juga dipengaruhi oleh adanya konveksi air dimana ketika air garam sudah menguap sempurna maka kalor yang dihasilkan juga akan semakin besar. Total hari pada perlakuan 1, perlakuan 2 dan perlakuan 3 membutuhkan waktu 16 hari selama percobaan, akan tetapi pada perlakuan 4 hanya membutuhkan waktu 13 hari, hal ini karena massa besi lebih besar dibandingkan seng sehingga nilai kapasitas kalor pada besi lebih tinggi dibandingkan seng, oeh karena itu laju evaporasi besi lebih cepat dibandingkan perlakuan yang hanya mendapatkan tambahan material seng saja, atau tanpa tambahan alas. Dengan demikian dalam percobaan ini yang berpengaruh besar dalam meningkatkan jumlah kalor yakni adanya tambahan material logam konduktor sebagai alas dalam sistem tertutup yang dapat memberikan transfer panas cukup besar sehingga dapat berdampak pada singkatnya waktu laju evaporasi. Tyas & Wirosodarmo (2014) menambahkan bahwa kalor berbanding lurus dengan laju evaporasi. Berdasarkan pernyataan tersebut maka setelah dilakukan percobaan sebanyak tiga kali menunjukkan bahwasannya disetiap percobaan menghasilkan nilai kalor yang berbeda-beda sehingga waktu yang dibutuhkan untuk laju evaporasi air garam juga berbeda sesuai kondisi cuaca pada saat percobaan dilakukan. Pada percobaan 1 dengan kondisi cuaca panas akan tetapi terjadi hujan sebanyak 2 kali selama percobaan maka hasilnya nilai kalor dan laju evaporasi pada perlakuan 4 paling cepat dan untuk laju evaporasi paling lambat dan nilai kalor paling kecil terjadi pada perlakuan 1. Untuk lebih jelasnya dapat dilihat pada gambar 4.3-5 menunjukkan kalor kumulatif selama percobaan 1 dan 4.3-6 menunjukkan laju evaporasi selama percobaan 1























- Kadar NaCl Pada Garam Rakyat. *Journal of Pharmacy and Science*, 1(1), pp. 9 - 14.
- Baihaqi, M. Y., 2017. Pengaruh Penambahan Unsur Seng (Zn) Terhadap Sifat Kekerasan Pada Cu-Zn Untuk Aplikasi Elektroda Las. Dalam: *Tugas Akhir*. Surabaya: Institute Teknologi Sepuluh Nopember, p. 105 hlm.
- Baker, H., Wheaton, N. D. & Mills, K., 1992. *ASM Handbook Volume 3 Alloy Phase Diagrams*. United States of America: ASM International.
- Basmal, J. & Nasran, S., 2000. Pengaruh Faktor Eksternal Terhadap Jenis Kapang Yang Tumbuh Pada Fermentasi Arabushi. *Jurnal Penelitian Perikanan Indonesia*, 6(2), pp. 75 - 83.
- Bizzy, L. & Setiadi, R., 2013. Studi Perhitungan Alat Penukar Kalor Tipe Shell And Tube Dengan Program Heat Transfer Research INC. *Jurnal Rekayasa Mesim*, 13(1), pp. 67 - 77.
- Bramawanto, R., 2017. Desain Dan Layout Tambak Garam Semi Intensif Skala Kecil Di Lahan Terbatas. *Jurnal Segara*, 13(3), pp. 159 -167.
- Burhani, K., Ramelan & Naryanto, R. F., 2014. Pengembangan Media Pembelajaran Perpindahan Panas Radiasi Dengan Variasi Beda Perlakuan Permukaan Spesimen Uji. *Journal of Mechanical Engineering Learning*, pp. 86 - 93.
- Chadarisma, A., Hantoro, R. & Sarwono, 2012. Studi Eksperimental Rancang Bangun Sistem Desalinasi Tenaga Surya Menggunakan Solar Reflector Untuk Produksi Brine Pada 25 Be. *Jurnal Teknik POMITS*, 1(1), pp. 1 - 4.
- Dita, M. F. & Widodo, B., 2013. Karakteristik Aliran Panas dalam Logam Penghantar Listrik. *Jurnal Teknik POMITS*, Volume 2, pp. 1 - 5.
- Departemen Kelautan dan Perikanan (DKP), 2003. *Pemberdayaan Garam Rakyat*. Jakarta: Dirjen Peningkatan Kapasitas Kelembagaan dan Pemasaran.

- Engineering, Toolbox., 2018. *Thermal Conductivity*. [Online] Available at: [http://www.EngineeringToolBox.com/waterliquidgasthermalconductivitytemperature-pressure-d\\_2012.html](http://www.EngineeringToolBox.com/waterliquidgasthermalconductivitytemperature-pressure-d_2012.html) [Diakses 19 07 2020].
- Firmansyah, J., 2018. Eksplanasi Ilmiah Air Mendidih Dalam Suhu Ruang. *Jurnal Filsaft Indonesia*, 1(1), pp. 75 - 79.
- Ghofur, A., 2015. *Industri Pengolahan Logam Zinc*, Surabaya: Pusat Studi Metalurgi Indonesia.
- Gustiawati, N., 2016. Peningkatan Kualitas Garam Rakyat Dengan Metode Rekristalisasi. Dalam: *Skripsi*. Surabaya: Institute Teknologi Sepuluh Nopember, p. 73 hlm.
- Hadi, W. P. & Ahied, m., 2017. Kajian Ilmiah Proses Produksi Garam Di madura Sebagai Sumber Belajar Kimia. *Jurnal Pembelajaran Kimia*, 2(2), pp. 1 - 8.
- Hamid, A. A., 2007. *Kalor dan Termodinamika*. Diktat Kuliah Termodinamika penyunt. Yogyakarta: Universitas Negeri Yogyakarta.
- Handoyo, E. A., 2001. Pengaruh Tebal Isolasi Termal Terhadap Efektivitas Plate Heat Exchanger. *Jurnal Teknik Mesin*, Volume 3.
- Herho, S. H., Firdaus, G. A. & Siregar, P. M., 2017. Pengaruh Aspek Meteorologi Terhadap Produksi Garam Air Payau Di Desa LOsarang Kabupaten Indramayu. *SEMIRATA MIPA*, pp. 1 - 16.
- Hidayat, R. R., 2011. Rancangan Bangun Alat Pemisah Garam dan Air Tawar Dengan Menggunakan Energi Matahari. Dalam: *Skripsi*. Bogor: Institute Pertanian Bogor, p. 65 hlm.
- Jumiati, 2016. Pembuatan Alat Praktikum Termoskop Guna Menjelaskan Radiasi Kalor Berbasis Teknologi Murah dan Sederhana. Dalam: *Skripsi*. Riau: Universitas Pasir Pengairan .

- Juniarti, L., Jumarang, M. I. & Apriansyah, 2017. Analisis kondisi suhu dan salinitas perairan barat Sumatera menggunakan data Argo Float. *Physic Communication*, 1(1), pp. 74 - 84.
- Juwito, A. F., 2017. Heat Energy Harvesting Untuk Sumber Listrik DC Skala Kecil. *Jurnal Integrasi*, 9(1), pp. 92 - 96.
- Kartikasari, K., 2007. Potensi Pemanfaatan Informasi Prakiraan Iklim Untuk Mendukung Sistem Usaha Tambak Udang dan Garam Di Kabupaten Indramayu. Dalam: *Skripsi*. Bogor: Institute Pertanian Bogor.
- Korovessis, N. A. & Lekkas, T. D., 2009. Solar Saltworks Wetland Function. *Global NEST Journal*, 11(1), pp. 49 - 57.
- Kristanto, P., 2000. Pengaruh Suhu dan Tekanan Udara Masuk Terhadap Kinerja Motor Diesel Tipe 4 JA 1. *Jurnal Teknik Mesin*, 2(1), pp. 7-14.
- Kumala, A. R., 2012. Analisis Pengaruh Curah Hujan Terhadap Produktivitas Garam. Dalam: *Skripsi*. Bogor: Institute Pertanian Bogor (IPB).
- Kurniawan, A., Jaziri, A. A., Amin, A. A. & Salamah, L. N., 2019. Indeks Kesesuaian Garam (IKG) Untuk Menentukan Kesesuaian Lokasi Produksi Garam, Analisa Lokasi Produksi Garam Di Kabupaten Tuban Dan Kabupaten Probolinggo. *Journal Of Fisheries And Marine Research*, 3(2), pp. 236 - 244.
- Latifah, N. L., 2015. *Fisika Bangunan 1*. Jakarta: Griya Kreasi.
- Lekakh, S. N. & Hrebec, B., 2016. Solidification Kinetics Of Graphite Nodules In Cast Iron And Shrinkage Porosity. *International Journal of Metalcasting*, pp. 1 - 16.
- Marihati, 2012. Pengaruh Bakteri Halofilik Terhadap Kemurnian NaCl Garam Rakyat Guna Penerapan Green Industry Di Indonesia Berbasis Garam Rakyat. *Jurnal Riset Teknologi Pencegahan Pencemaran Industri*, 2(1), pp. 1 - 67.



- Rahma, M., 2006. Kandungan Fe, Cu, Zn, Dan Pb Dalam Sedimen Perairan Pesisir Sekitar Kawasan Industri Gresik. Dalam: *Skripsi*. Bogor: Institute Pertanian Bogor, p. 30 hlm.
- Rindayani, 2013. Strategi Pemberdayaan Masyarakat Melalui Program Pemberdayaan Usaha Garam Rakyat (PUGAR) di Dinas Kelautan dan Perikanan Kabupaten Pamekasan. *Jurnal Tani*, Volume 1, pp. 57 - 69.
- Rochyatun, E. & Rozak, A., 2007. Pemantauan Kadar Logam Berat Dalam Sedimen Di Perairan Teluk Jakarta. *Makara Sains*, Volume 11, pp. 28 - 36.
- Rusiyanto, Soesilowati, E. & Jumaeri, 2013. Penguatan Industri Garam Nasional Melalui Perbaikan Teknologi Budidaya Dan Diversifikasi Produk. *Jurnal Sains dan Teknologi*, 11(2), pp. 129 - 142.
- Rusyda, H. F. S., Hasritanto, B. I. & Widiastutu, R., 2017. Sifat Material Pada RuANG Terbuka Di Kota Laa Yang Terkait Dengan Thermal. *MODUL*, 17(2), pp. 85 - 88.
- Sartono, C. m., Soedarsono, P. & muskanonfola, m. r., 2013. Konversi Tonase Air Dengan Berat Garam Yang Terbentuk Di Areal Pertambakan Tanggulare Jepara. *Journal of menegementof aquatic resource*, 2(3), pp. 20 - 26.
- Saunders, G. & Bauer, R., 2007. *Terpal Plastik "Panduan Tentang Spesifikasi dan Penggunaan Terpal Plastik Dalam Kebutuhan Manusia"*. s.l.:IFRC dan Oxfarm International.
- Selparia, E., Ginting, M. & Syech, R., 2015. Pembuatan Dan Pengujian Alat Untuk Menentukan Konduktivitas Plat Seng, Multiroof dan Asbes. *Jurnal JOM FMIPA*, Volume 2, pp. 191-197.
- Soesanto, B., 2008. *Karakteristik Dan Unsur - Unsur Iklim Mikro Pada Berbagai Perlakuan Rekayasa Iklim Mikro*, Jember: Universitas Jember.





